



کد مقاله : A-۱۰-۲۶۱۱-۱

## ساخت یک چیدمان مقطع نگاری همدوس اپتیکی کم هزینه با استفاده از طیف سنج مبتنی بر گوشی هوشمند

شکیبا دوانی<sup>۱</sup>, مجتبی ابراهیمی<sup>۱</sup>, عبدالناصر ذاکری<sup>\*</sup>

۱- بخش فیزیک، دانشکده علوم، دانشگاه شیراز، شیراز، ایران

zakeri@physics.susc.ac.ir, shakibadavani@yahoo.com,

Mojtaba.ebrahimi2001@gmail.com

چکیده: سیستم های مقطع نگاری همدوس اپتیکی، سیستم های پر هزینه ای هستند و دارای دستگاه های تجاری طیف سنج و منبع نوری SLD است که قیمت هایی بالاتر از صدهزار دلار دارند. ما در این کار سعی کردیم به جای استفاده از طیف سنج های تجاری گران قیمت از طیف سنج مبتنی بر گوشی هوشمند و همچنین از لامپ پهن نور سفید به عنوان منبع نور استفاده کنیم که باعث صرفه جویی هزینه به صورت چشمگیری شده است. امروزه کارهایی که در مورد ساخت این نوع طیف سنج ها انجام شده است دارای دقت زیر نانومتر می باشد. در این کار تمرکز ما ساخت طیف سنج مبتنی بر گوشی هوشمند است و تحقیقات ما نشان می دهد که می توان ضریب شکست و ضخامت را نیز اندازه گیری نمود.

کلید واژه: مقطع نگاری همدوس اپتیکی، حوزه فوریه، طیف سنجی، اختلاف راه نوری، تلفن هوشمند

## Fabrication of a lowcost Optical Coherence Tomography set up using a mobile phonebased spectrometer

Shakiba Davani<sup>1</sup>, Mojtaba Ebrahimi<sup>1</sup>, AbdolnasserZakery<sup>\*</sup>

<sup>1</sup>Department of Physics, College of Sciences, Shiraz University, Shiraz, Iran

zakeri@physics.susc.ac.ir, shakibadavani@yahoo.com, Mojtaba.ebrahimi2001@gmail.com

**Abstract-** Commercial Optical Coherence Tomography systems using SLD sources are normally very expensive units of over hundred thousand dollars. We have tried in the present work to build a spectrometer using a mobile phone and a wide band lamp source instead of such an expensive commercial unit. This has led in a huge cost reduction. The accuracy obtained with such cheap spectrometers is sub-nanometer. Our investigation in the present work shows that refractive index and the thickness of different samples can be measured with a good accuracy.

Keywords: Optical Coherence Tomography, Fourier domain, Spectroscopic, Optical path difference, Smart phone

حسب عدد موج به صورت زیر حاصل می‌شود [۴] :

که  $m$  پاسخ آشکارساز می‌باشد و  $\langle |s(k, w)|^2 \rangle = (k) \text{ OCT}_{\text{توان}}$  طیفی منبع نور است. در این رابطه جمله اول (DC) مستقل از طول مسیر است و متناسب با مجموع توان بازوهای نمونه و مرجع است. جمله دوم همبستگی متقابل (CC)، وابسته به اختلاف راه بین دو بازو و شامل اطلاعات عمقی نمونه است و جمله سوم همبستگی خودکار (AC)، نشان دهنده تداخل بین بازتابندهای نمونه است. در حوزه فوریه، تمام جمله‌های  $I_D(k)$  به طور همزمان توسط طیف‌سنجد دریافت می‌شود و پس از اعمال تبدیل فوریه معکوس اطلاعات عمقی نمونه به دست می‌آید.

### چیدمان آزمایش

با استفاده از چیدمان حوزه طیفی مقطع نگاری همدوس اپتیکی (SD-OCT) با منبع نور لامپ هالوژن ۶ ولتی دارای طول همدوسی  $1/4$  میکرون به بررسی اختلاف راه نوری ایجاد شده و اندازه گیری ضخامت نمونه می‌پردازیم. در این چیدمان (شکل ۱) نور پس از عبور از لنز (۱) موازی شده و پس از عبور از جداکننده پرتو (B.S) به دو آینه تمام بازتاب  $M_R$  و  $M_S$  برخورد می‌کند. در صورتیکه اختلاف راه نوری بین دو آینه کوچکتر مساوی طول همدوسی منبع نور باشد تداخل شکل می‌گیرد. سپس پرتو نور توسط لنز (۲) کانونی شده و وارد طیف‌سنجد مبتنی بر گوشی هوشمند می‌شود. نور پس از عبور از یک شکاف بسیار نازک توسط یک لنز موازی می‌شود و به توری پراش عبوری برخورد می‌کند. این

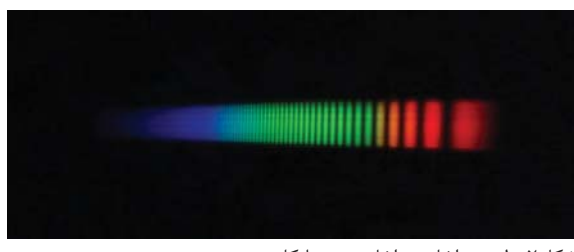
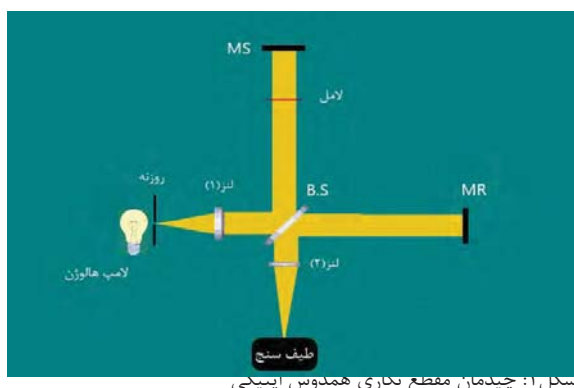
### مقدمه

$$I_D(k) = \frac{\rho}{4} [R_R R_{S1}^2 QGT + R_{S2}^2 QGT] + \frac{\rho}{2} \sum_{n=1}^N \sqrt{R_R R_{Sn}} (\cos[2k(Z_R - Z_{Sn})])$$

قطع نگاری همدوس اپتیکی  $I_D(k)$  بیک تکیه کنندۀ تصویربرداری نوین، سه بعدی، بدون تماس، غیرخطی با  $S(k)$  تهاجمی است که قادر است تصاویر سطح  $N$  تفکیک پذیری  $Z_{Sn}$  را با  $\sqrt{R_R R_{Sn}} \cos[2k(Z_R - Z_{Sn})]$  می‌نماید. نمونه‌های ناهمگن توسط اندازه گیری تراشی یا پراکنده‌گی بازگشتی فراهم کند [۱، ۲، ۳]. در تصویربرداری OCT زمانی که بیم نور به سمت نمونه هدایت می‌شود به طور متناوب نسبت به ساختارهایی که دارای خواص اپتیکی متفاوتی هستند، بازتاب صورت می‌گیرد. این تکنیک تصویربرداری بر پایه و اساس تداخل سنجی با طول همدوسی کوتاه است و تصاویر به دست آمده مجموعه‌ای دو یا سه بعدی از اطلاعاتی هستند که تفاوت در بازتاب در یک سطح مقطع و یا حجم را نشان می‌دهند [۳]. دو روش OCT رایج حوزه زمان و فوریه برای سیستم‌های عملکردی وجود دارد: اسکن‌های عمقی به وسیله حرکت آینه مرجع در جهت طول محوری (حوزه زمان) و آنالیز طیفی سیگنال‌های تداخلی با ثابت نگه داشتن آینه مرجع (حوزه فوریه).

### نتوری

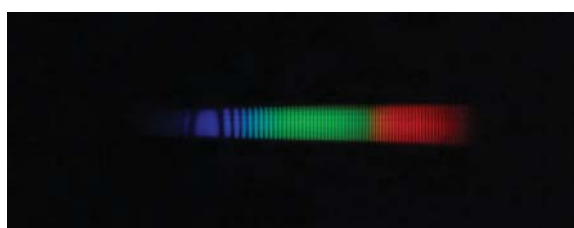
ساختمن سیستم OCT اصولاً یک تداخل سنج مایکلsson است که نور تولید شده توسط منبع نور با طول همدوسی کم  $s(k, w) = s(k, w)e^{i(kz-wt)}$  از عبور از جداکننده پرتو به دو بیم مرجع و نمونه تقسیم می‌شود که  $s(k, w)$  دامنه میدان الکتریکی به عنوان تابعی از عددموخ  $k = \frac{2\pi}{\lambda}$  و فرکانس زاویه ای  $w = 2\pi\nu$  می‌باشد. بیم مرجع با میدان  $E_R = \frac{E_i}{\sqrt{2}} r_R e^{i2kz_R}$  از آینه مرجع و بیم نمونه با میدان  $E_s = \frac{E_i}{\sqrt{2}} \sum_{n=1}^N r_{Sn} e^{i2kz_{Sn}}$  از نمونه‌ی چندلایه با ضرایب بازتاب متفاوت  $r_{Sn}$  بازتاب می‌شود. شدت آشکار شده در آشکارساز به صورت مجموع میدان‌ها در جداکننده پرتو به دست می‌آید. درنهایت شدت بر



شکل ۲: طرح تداخلی تداخل سنج مایکلsson



شکل ۳: (الف) طرحی از حضور لامل به صورت نیمه در مسیر نور. (ب) طرح تداخلی دو بیم I و II در طیف سنج.



شکل ۴: طرح تداخلی با حضور لامل به صورت کامل در بازوی نمونه، در طیف سنج

طیفسنج اجزای طول موجی یک منبع پهن باند را بر روی تراشه بسیار حساس CMOS پخش می‌کند<sup>[۵]</sup>. با تبدیل کردن پیکسل‌ها به طول موج، طیف شدت بر حسب طول موج سیگنال‌های تداخلی حاصل می‌شود. با قرار دادن یک لامل به عنوان نمونه مورد نظر در مقابل آینه  $M_5$  به بررسی اختلاف راه نوری ایجاد شده در سه مورد قبل از حضور نمونه، بعد از حضور نمونه به صورت نیمه و کامل در مسیر نور، بدون هرگونه تغییر در اجزای چیدمان می‌پردازیم. شکل ۲ تنها یک طرح تداخل رنگی با مرکز قرمز حاصل از تداخل سنج مایکلsson را بدون حضور نمونه در طیفسنج نشان می‌دهد. شکل ۳ الف طرحی از حضور لامل را به صورت نیمه در مسیر نور نشان می‌دهد. قسمت بالایی پرتو فرویدی (I) به طور مستقیم به آینه برخورد می‌کند در حالی که قسمت دیگر پرتو فرویدی (II) از لامل عبور می‌کند. اگرچه یک بیم فرویدی داریم، اما این دو پرتو دارای اختلاف راه‌های نوری متفاوتی هستند بنابراین به عنوان دو پرتوی تداخل کننده دیده می‌شوند. پرتوی II دارای اختلاف راه نوری  $2n_g t$  است و اختلاف راه بین دو پرتو I و II به صورت  $t(1 - n_g)$  بیان می‌شود و فرض شده است که ضریب شکست هوا برابر ۱ باشد<sup>[۶]</sup>. پرتو I و II پس از بازتاب از آینه  $M_5$  با پرتوی بازتابی از آینه مرجع  $M_R$  تداخل می‌کنند. در شکل ۲ ب به خوبی تفاوت در اختلاف راه بین دو پرتو به صورت طرح تداخلی در دو رنگ متفاوت دیده می‌شود. طرح تداخلی مرکزی در پرتو II باشد و ما به صورت همزمان تداخل هر دو پرتو را به صورت جداگانه مشاهده می‌کنیم. شکل ۴ طرح تداخلی مرکزی مربوط به حضور کامل نمونه در مسیر نور به صورت تنها مربوط به حضور کامل نمونه در مسیر نور به صورت تنها یک طرح تداخل مرکزی آبی در طیفسنج مشاهده می‌شود. بدون حضور لامل طرح تداخلی مرکزی قرمز داریم (شکل ۲) و پس از حضور کامل لامل و ایجاد اختلاف راه نوری طرح تداخل مرکزی آبی داریم.

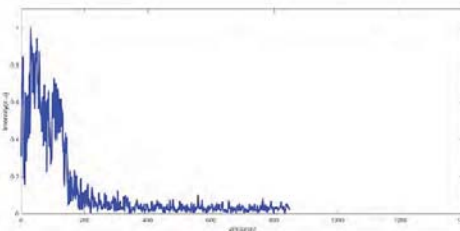
از طرفی گوشی هوشمند دارای لنز متحرک و ساختار لنزی بدون ابیراهی می‌باشد که برمزیت استفاده از این طیفسنج می‌افزاید [۱۰].

### منابع

- [1] Tomlins, Peter H., and Ruikang K. Wang. "Theory, developments and applications of optical coherence tomography." *Journal of Physics D: Applied Physics* 38.15 (2005): 2519.
- [2] Li, Mo, et al. "Optical coherence tomography—A review of the opportunities and challenges for postharvest quality evaluation." *Postharvest Biology and Technology* 150 (2019): 9-18.
- [3] Fujimoto, James G., et al. "Optical coherence tomography: an emerging technology for biomedical imaging and optical biopsy." *Neoplasia* 2.1-2 (2000): 9-25.
- [4] Izatt, Joseph A., and Michael A. Choma. "Theory of optical coherence tomography." *Optical coherence tomography*. Springer, Berlin, Heidelberg, 2008. 47-72.
- [5] Wang, Li-Ju, et al. "A multichannel smartphone optical biosensor for high-throughput point-of-care diagnostics." *Biosensors and Bioelectronics* 87 (2017): 686-692.
- [6] Zilio, S. C. "Simultaneous thickness and group index measurement with a single arm low-coherence interferometer." *Optics express* 22.22 (2014): 27392-27397.
- [7] Suliali, Nyasha J., et al. "Development of a Free Space, LED Illuminated Spectral-domain Optical Coherence Tomography Setup." *Spectrum* 50000 (2017): 60000.
- [8] Rajai, Payman, et al. "Simultaneous measurement of refractive index and thickness of multilayer systems using Fourier domain optical coherence tomography, part 1: theory." *Journal of Biomedical Optics* 22.1 (2017): 015002.
- [9] پوریا امیدی، آرشام حمیدی، احسان احمدی اخلاقی، " اندازه گیری ضریب شکست گروه و ضخامت نمونه به صورت همزمان با استفاده از مقطع نگار همدوس طیفی، کنفرانس اپتیک و فوتونیک، ۱۳۹۶
- [10] Ding, Hui, et al. "Smartphone-based spectrometer with high spectral accuracy for mHealth application." *Sensors and Actuators A: Physical* 274 (2018): 94-100.

### نتایج تجربی

با استفاده از چیدمان شکل ۱، ضخامت یک ورق پلاستیک شفاف که به صورت کامل در مسیر بازوی نمونه قرار گرفته است، اندازه گیری می‌شود. سیگنال تداخلی در یک تداخل سنجدی با طول همدوسی کوتاه، توسط منبع نور تعیین می‌شود. برای مثال اگر طیف منبع نور یک توزیع گاووسی داشته باشد، سیگنال تداخلی هم توزیع گاووسی دارد. داده‌های طول موج به دست آمده سیگنال تداخلی به عدد موج تبدیل می‌شوند و با استفاده از روش درون یابی، سیگنال شدت بر حسب عدد موج به دست می‌آید که با اعمال تبدیل فوریه معکوس اطلاعات عمقی نمونه حاصل می‌شود [۷،۸].



شکل ۵: نمودار شدت بر حسب اختلاف راه نوری (میکرومتر)

شکل ۵ نمودار شدت بر حسب اختلاف راه نوری مربوط به یک ورق پلاستیکی را به عنوان نمونه نشان می‌دهد. با توجه به روش ارائه شده در مقاله‌های مختلف [۶، ۹] در این نمودار پیک اول نشان دهنده ی جمله DC و پیک دوم نشان دهنده جمله AC است. مطابق با این کار ضخامت نسبتی ۳۷.۱۲ میکرومتر به دست آمده است. اندازه گیری با استفاده از ریزسنج دقت ۲ میکرومتر را تایید می‌کند.

### نتیجه گیری

ما در این مقاله با استفاده از طیف سنج مبتنی بر گوشی هوشمند ساخته شده به روش اوریگامی موفق شدیم یک سیستم OCT کم هزینه بسازیم. این سیستم طیف سنجی قابل ارتقا و بهبود است که باعث افزایش دقت کار می‌شود.